

Artemisinin-Loaded Nanofibrous Scaffolds: A Potential Strategy for Enhancing Apoptosis and Inhibiting Breast Cancer Survival

Akram Firouzi Amandi¹,
Sodabeh Aminitekantapeh²,
Mehdi Dadashpour^{3,4,5}

¹ PhD Student in Immunology, Faculty of Medicine, Tabriz University of Medical Sciences, Tabriz, Iran

² MSc in Genetics, Faculty of Basic sciences, Islamic Azad University, Tabriz Branch, Tabriz, Iran

³ Assistant Professor, Department of Medical Biotechnology, Faculty of Medicine, Semnan University of Medical Sciences, Semnan, Iran

⁴ Cancer Research Center, Semnan University of Medical Sciences, Semnan, Iran

⁵ Student Research Committee, Semnan University of Medical Sciences, Semnan, Iran

(Received October 5, 2024; Accepted November 24, 2024)

Abstract

Background and purpose: Breast cancer remains one of the most prevalent cancers affecting women worldwide. Despite advances in conventional treatments such as chemotherapy, surgery, hormone therapy, and radiotherapy, their effectiveness in eradicating the disease is often limited. This study was conducted to explore the anticancer potential of artemisinin-based electrospun implantable scaffolds against the MDA-MB231 breast cancer cell line.

Materials and methods: Artemisinin (Art)-loaded polycaprolactone scaffolds (Art-PCL NFs) were synthesized using electrospinning technique and their physical and chemical properties were characterized through electron microscopy and infrared spectroscopy. This experimental study involved the preparation and culture of MDA-MB231 cells in triplicate wells for both test and control groups. In the test groups, five concentrations of artemisinin in its free and nanoformulated form (0, 2, 5, 10, 20, and 30 mM) were applied and incubated for 24, 48, and 72 hours. The control group was incubated with cell culture medium without any treatment. The MTT assay was conducted to evaluate the cytotoxic effects of nanofibers containing Art on the MDA-MB231 cell line. Additionally, the expression levels of *BCL2* and *Bax* genes in breast cancer cells treated with Art-PCL NFs were analyzed using Real-Time PCR. Data were analyzed using an unpaired t-test and GraphPad Prism version 8, and Excel software.

Results: The MTT assay demonstrated that loading artemisinin onto polycaprolactone scaffolds significantly enhanced its cytotoxic effect on MDA-MB231 cancer cells ($P < 0.05$). This effect was associated with a significant increase in the expression level of *Bax* gene and a corresponding decrease in *BCL2* expression in cells treated with Art-PCL NFs compared to those with pure Art ($P < 0.05$).

Conclusion: The study showed that Art-PCL NFs are more effective in increasing the expression of genes associated with apoptosis and inhibiting anti-apoptotic genes compared to pure Art. Therefore, nanofiber-based Art-PCL NFs could serve as potential drug delivery system for targeting the residual cancer cells and preventing breast cancer recurrence.

Keywords: artemisinin, nanofibrous scaffold, apoptosis, breast cancer

J Mazandaran Univ Med Sci 2024; 34 (239): 1-14 (Persian).

Corresponding Author: Mehdi Dadashpour- Faculty of Medicine, Semnan University of Medical Sciences, Semnan, Iran. (E-mail: rahmani.dadashpouremehdi1400@gmail.com) and **Sodabeh Amini Tekantapeh-** Faculty of Basic Sciences, Islamic Azad University, Tabriz Branch, Tabriz, Iran. (E-mail: s.amini.tek.1398@gmail.com)

داربست‌های نانوالیافی تعبیه شده با آرتیمیسینین: رویکردی امیدوارکننده برای القای آپوپتوز در سلول‌های سرطان پستان

اکرم فیروزی امدی^۱سودابه امینی تکانتیه^۲مهدی داداشپور^{۳و۴و۵}

چکیده

سابقه و هدف: سرطان پستان، یکی از سرطان‌های رایج در زنان می‌باشد. درمان‌های مرسوم نظیر شیمی درمانی، جراحی، هورمون درمانی و رادیوتراپی در درمان این بیماری کارآمد نیستند. لذا، مطالعه حاضر با هدف بررسی فعالیت ضد سرطانی داربست‌های الکترووریسی شده مبتنی بر آرتیمیسینین (Art) بر روی رده سلولی سرطان پستان MDA-MB231 انجام گردید.

مواد و روش‌ها: در این مطالعه تجربی، داربست‌های پلی کاپرولاکتون حاوی Art با استفاده از الکترواسپینینگ سنتز و خصوصیات فیزیکی و شیمیایی آن‌ها بررسی گردید. پس از تهیه سلول‌های MDA-MB231، سلول‌ها به صورت چاهک‌های سه‌تایی در گروه تست و گروه کنترل تقسیم شدند. در گروه‌های تست، ۵ غلظت آرتیمیسینین به صورت آزاد و نانو فرموله (۰، ۲، ۵، ۱۰، ۲۰ و ۳۰ میلی‌مولار) به مدت ۲۴ و ۴۸ ساعت انکوبه شدند. گروه کنترل، تحت تاثیر محیط کشت سلولی قرار گرفتند. تست MTT به منظور بررسی اثرات سمیت نانوفایبرهای حاوی Art بر روی رده سلولی MDA-MB231 انجام گردید. هم‌چنین سطح بیان *Bax* و *BCL2* در سلول‌های تیمار شده با نانوفایبر حاوی Art از طریق Real-Time PCR بررسی گردید. بررسی داده‌ها با استفاده از آزمون‌های آماری Unpaired t test و به وسیله نرم‌افزار GraphPad Prism نسخه ۸، انجام گرفت.

یافته‌ها: تست MTT تاکید کرد که لود کردن آرتیمیسینین بر روی داربست به‌طور قابل توجهی اثر سمیت آن را بر روی سلول‌های سرطانی MDA-MB231 افزایش می‌دهد ($P < 0.05$). این یافته‌ها با افزایش قابل توجه سطح بیان ژن‌های *Bax* و *BCL2* در سلول‌های تیمار شده با نانوفایبر حاوی Art در مقایسه با Art همراه هستند ($P < 0.05$).

استنتاج: نتایج نشان دادند که داربست حاوی Art در مقایسه با Art خالص سمیت بیش‌تری بر روی سلول‌ها دارند. بنابراین داربست‌های نانوفایبری حاوی Art ممکن است یک سیستم دارو رسانی برای کشتن سلول‌های سرطانی باقی مانده و مانع عود سرطان پستان گردند.

واژه‌های کلیدی: آرتیمیسینین، داربست نانوفایبری، آپوپتوز، سرطان پستان

E-mail: dadashpoumehdi1400@gmail.com

مؤلف مسئول: مهدی داداشپور - سمنان: دانشگاه علوم پزشکی سمنان، دانشکده پزشکی

E-mail: s.amini.tek.1398@gmail.com

و سودابه امینی تکانتیه - تبریز: دانشگاه آزاد اسلامی واحد تبریز، دانشکده علوم پایه

۱. دانشجوی دکتری تخصصی ایمنی شناسی پزشکی، گروه ایمنی شناسی پزشکی، دانشکده پزشکی، دانشگاه علوم پزشکی تبریز، تبریز، ایران

۲. کارشناسی ارشد ژنتیک، دانشکده علوم پایه، دانشگاه آزاد اسلامی واحد تبریز، تبریز، ایران

۳. استادیار، گروه بیوتکنولوژی پزشکی، دانشکده پزشکی، دانشگاه علوم پزشکی سمنان، سمنان، ایران

۴. مرکز تحقیقات سرطان، دانشگاه علوم پزشکی سمنان، سمنان، ایران

۵. کمیته تحقیقات دانشجویی، دانشگاه علوم پزشکی سمنان، سمنان، ایران

تاریخ دریافت: ۱۴۰۳/۷/۱۴ تاریخ ارجاع جهت اصلاحات: ۱۴۰۳/۸/۲ تاریخ تصویب: ۱۴۰۳/۹/۴

مقدمه

سرطان یکی از بزرگ‌ترین مشکلات سلامت در سراسر دنیا و هم‌چنین دومین عامل مرگ‌ومیر بعد از بیماری‌های قلبی و عروقی می‌باشد. سرطان پستان، یکی از رایج‌ترین سرطان‌های شناخته شده در بین زنان در سراسر جهان بوده و هم‌چنین دومین علت مرگ‌ومیر بعد از سرطان ریه می‌باشد (۱). درمان‌های سرطان شامل شیمی درمانی، جراحی و رادیوتراپی در دسترس هستند، اما در بسیاری از موارد کارایی محدودی دارند (۲). درمان‌های مدرن ضد سرطان پاسخ و بقای بهتری را نشان می‌دهند، اما عوارض جانبی و کیفیت پایین زندگی، اغلب منجر به قطع، کاهش دوز، و ظهور مقاومت دارویی می‌شود. تحقیقات بر روی توسعه شیمی درمانی‌های ایمن تر از طریق بررسی خواص ضد سرطانی ترکیبات جدیدتر و یا با ارزیابی داروهای مورد استفاده در سایر بیماری‌های غیر بدخیم متمرکز شده است (۳). برای این منظور شناسایی و استفاده از فیتوکیماکال‌های غیرسمی که اهداف چندگانه‌ای در استفاده از آن‌ها وجود دارد مورد هدف قرار داده شده است که باعث کاهش کارسینوژن‌ها و خطرات سرطان می‌شود (۴۵).

آرتمیسینین ترکیبی است که در سال ۱۹۷۲ از گیاه دارویی چینی به نام *Artemisia annua* جدا شده است. آرتمیسینین و مشتقات آن علاوه بر فعالیت ضد مالاریا، دارای فعالیت ضد توموری قوی، ضد میکروبی، آنتی‌اکسیدانی و فعالیت ضد انعقادی هستند (۶).

فیتوکیماکال‌ها در کنار ویژگی‌ها و مزایایی که دارند، دارای معایب و محدودیت‌هایی می‌باشند که این امر کارایی آن‌ها را در حالت بیولوژیکی کاهش می‌دهد (۵۷۸). از محدودیت‌های این ترکیبات می‌توان به نیمه عمر کوتاه، حلالیت کم، دسترسی بیولوژیکی ضعیف، پایین بودن مدت زمان پایداری در گردش خون و سریع متابولیسم و تخریب شدنشان، اشاره کرد. این محدودیت‌ها توسط فناوری نانو تا حد قابل توجهی قابل جبران می‌باشد (۹). امروزه استفاده از نانو تکنولوژی در

علم پزشکی و به طور اختصاصی تر در سیستم‌های دارو رسانی سریعاً در حال افزایش است. در سیستم‌های دارویی از نانو تکنولوژی جهت افزایش اختصاصی بودن انتقال به بافت مربوطه و هدف درمانی، کاهش سمیت در ضمن حفظ اثرات درمانی، افزایش ایمنی و زیست سازگاری، دستیابی و توسعه سریع تر به داروهای جدید سالم، کاهش سمیت و اثرات جانبی داروها استفاده می‌شود (۱۰). نانوفیبرها با نسبت سطح به حجم بالای خود امکان بارگذاری انواع مواد زیست فعال در سطح خود را دارا می‌باشند. این نسبت سطح به حجم بالا امکان برهمکنش مناسب سلول‌ها با این ساختارها را نیز فراهم می‌کند (۱۱). یکی از مهم‌ترین مزیت‌های داربست‌ها رهایش کنترل شده طولانی مدت داروها می‌باشد. انکپسولاسیون دارو داخل نانوداربست‌ها از هیدرولیز آن‌ها جلوگیری کرده و دسترسی سلول‌ها به دارو را بیش تر می‌کند (۱۲).

نانوالیاف پلیمری الکترواسپون به علت سطح و تخلخل بالا و کنترل رهایش دارو با روش‌های مختلف آماده‌سازی به عنوان حامل برای داروهای مختلف و مولکول‌های زیست فعال مورد استفاده قرار می‌گیرند. پلی کاپرولاکتون (PCL) یک پلیمر زیست تخریب پذیر ترموپلاستیک و نیمه بلوری آب گریز (هیدروفوب) با خصوصیات مکانیکی فوق‌العاده، زیست سازگاری مناسب، آنتی‌ژنیسیته پایین و غیر سمی بودن محصول حاصل از تخریب آن است. با توجه به موارد ذکر شده در پزشکی و مهندسی بافت کاربرد ویژه‌ای دارد (۱۱۳). در این مطالعه در نظر است برای اولین بار با تهیه یک سیستم دارورسانی و موثر برای تحویل درمکان آرتمیسینین با توزیع زیستی و فراهمی زیستی به‌طور قابل توجهی، کارایی درمانی آن را افزایش دهیم. از این رو، ابتدا داربست‌های پلی کاپرولاکتون با استفاده از الکترورسی طراحی شد. سپس ویژگی‌های فیزیکوشیمیایی داربست‌ها مورد بررسی قرار گرفت. علاوه بر این، خاصیت ضد تکثیر و سمیت سلولی داروی آزاد و لوده شده در

داربست بر روی سلول‌های MDA-MB231 مورد بررسی قرار گرفت.

مواد و روش‌ها

این مطالعه آزمایشگاهی با کد اخلاق IR.SEMUMS.REC.1402.165، در دانشگاه علوم پزشکی سمنان تصویب شد. در این مطالعه از آرتمیسینین و آرتمیسینین لود شده در نانوفایبر به‌عنوان گروه‌های اصلی و کنترل حاوی محیط کشت فاقد دارو بوده، استفاده شده است.

سنتز کopolymer پلی کاپرولاکتون

پلیمر پلی کاپرولاکتون (شرکت سیگما) از پلیمریزاسیون حلقه گشای مونومرهای اپسیلون کاپرولاکتون در غیاب حلال و در حضور کاتالیزور اکانات قلع و نیتروژن سنتز شدند و به روش انحلال در دی کلرومتان و دی اتیل اتر خالص سازی شدند.

ساخت داربست نانوفیبری حاوی Art

پلیمر در حلالی شامل دی کلرومتان: متانول (شرکت سیگما) به نسبت ۴:۱ حل شده و در داخل بشری که با فویل آلومینیوم به خوبی پوشیده شده بود، به مدت ۲۴ ساعت دردمای آزمایشگاه مخلوط گردید تا کاملاً همگن شود، سپس آرتمیسینین (شرکت سیگما) به نسبت ۵ درصد وزن پلیمر به محلول پلیمر اضافه شد. در مرحله دوم، محلول پلیمر به داخل سرنگ ۵ میلی لیتر کشیده شده و در درون دستگاه الکترورسی (شرکت نانو فناوران نانو مقیاس) قرار داده شد و پارامترهای داخلی دستگاه طبق جدول شماره ۱، تنظیم گردید.

جدول شماره ۱: پارامترهای داخلی دستگاه الکترورسی

120 Mm	فاصله نازل تا جمع کننده
Kv ۳۰-۲۵	اختلاف پتانسیل
G۱۴	قطر داخلی نازل
ml/hr	نرخ تغذیه نازل
Rpm۱۲۰	سرعت چرخش درام جمع کننده

داربست‌های نانوفیبری روی صفحه جمع کننده با یک ورقه آلومینیومی جمع شدند و برای مراحل بعدی آزمایش مورد استفاده قرار می‌گیرند.

بررسی مورفولوژی داربست‌های حاوی Art

مورفولوژی داربست‌ها توسط میکروسکوپ الکترونی اسکیننگ (SEM) (MIRA3 TESCAN, Czech) مورد مطالعه قرار گرفت و ضخامت نانوفیبرهای ایجاد شده با نرم‌افزار آنالیز تصویری (image J)، مشخص شد.

طیف سنجی مادون قرمز با تبدیل فوری (FTIR)

مشخصه نانوفیبرهای حاوی آرتمیسینین و نانوفیبرهای فاقد آرتمیسینین به وسیله طیف سنجی مادون قرمز با تبدیل فوری (Perkin Elmer, Spectrum, Waltham, USA) در گستره $4000-400\text{ cm}^{-1}$ و تفکیک پذیری 4 cm^{-1} انجام گرفت. قبل از آزمون، نمونه‌ها در دسیکاتور به مدت ۳ روز خشک شدند. سپس تکه‌هایی از نانوالیاف‌ها با ضخامت $0.2/0.1\text{ mm}$ بین دو صفحه KBr قرار داده شد و آنالیز صورت پذیرفت.

سنجش میزان آبدوستی/آبگریزی

به منظور مطالعه میزان آب دوستی/آب‌گریزی نانوفایبرها، زاویه تماس سطح نانوفایبرها با روش قطره چسبنده مورد ارزیابی قرار گرفت. زاویه تماس θ سطح نانوفایبرها با استفاده از دستگاه سنجش زاویه تماس (goniometer, Switzerland) PG-X اندازه‌گیری شد.

تجزیه و تحلیل طیف سنجی پراش انرژی پرتو ایکس (EDX)

میکروسکوپ الکترونی مجهز به یک سیستم طیف سنجی پرتو ایکس پراکنده انرژی (EDX; JEOL-EX-23000 BU، آلمان) بود و برای ارزیابی محتویات عنصر در نانوفیبرهای بارگذاری شده با دارو استفاده شد.

تخریب زیستی در شرایط آزمایشگاهی

برای مطالعات رفتار تخریب، نانوالیاف شده در درون یک پلیت ۲۴ چاهکی حاوی ۱ میلی لیتر (pH 7.4) PBS قرار داده شد و در دمای ۳۷ درجه سانتی گراد برای فواصل زمانی مختلف انکوبه شدند. نمونه‌ها پس از هر بار تخریب، یک شب در دمای اتاق شسته و در خلاء خشک شدند و درصد کاهش وزن از رابطه زیر محاسبه شد.

$$Wt\ loss\ (\%) = \frac{W_0 - W_t}{W_0} \times 100$$

در فرمول بالا، درصد کاهش وزن (Wt loss %) به درصد کاهش وزن در زمان t (Wt) t انکوباسیون اشاره می‌شود، W₀ وزن نانوالیاف در شروع تخریب را نشان می‌دهد و W_t وزن نانوالیاف پس از زمان t است.

آماده کردن داربست‌های نانوفایبری برای مطالعات کشت سلولی

ابتدا داربست‌های نانوفایبری معادل ابعاد یک خانه پلیت ۲۴ خانه‌ای (SPL شرکت کره‌ای) پانچ شدند. سپس نمونه‌ها سه بار با استفاده از اتانول ۷۰ درصد (شرکت سیگما) شستشو داده شده و تحت تابش نور UV به مدت ۱۵ دقیقه قرار گرفتند. در مرحله بعدی نمونه سه بار با محلول PBS شستشو داده شد تا باقی مانده حلال از آن حذف گردد.

بررسی میزان رهایش آرتمیسینین از داربست نانوفایبری PCL

ابتدا ۲۵ میلی گرم از نانوفایبرها به طور دقیق توسط ترازو وزن شده و در مقدار ۲۵ میلی لیتر از بافر PBS به عنوان محیط رهش، حل گردید. سپس نمونه در انکوباتور شیکردار با سرعت ۱۰۰ دور در دقیقه قرار گرفت. در فواصل زمانی از قبل تعیین شده مقدار ۱ میلی لیتر از محلول رها شده از محیط رهش برداشته شد و مقدار یکسانی از PBS به محیط اضافه گردید. مقدار داروی رها شده توسط طیف‌سنجی UV سنجیده گردید و غلظت آن با استفاده از منحنی کالیبراسیون آرتمیسینین گزارش شد.

کشت سلول‌های سرطانی بر روی داربست‌های نانوفایبری ابتدا تعداد ۸×۱۰^۳ از سلول‌های سرطانی MDA-MB 231 در پلیت 24 خانه‌ای کشت داده شد و به مدت ۲۴ ساعت تکثیر پیدا کردند. سپس سلول‌ها با غلظت‌های یکسانی از Art و نانوفایبر حاوی Art (۳۰ و ۱۰، ۲۰، ۵، ۲، ۰) تیمار گردیدند. بعد از تیمار ۱ میلی لیتر محیط کشت کامل به پلیت اضافه شد و درون انکوباتور CO₂ برای مطالعات بعدی طی ۲۴ و ۴۸ ساعت قرار گرفتند.

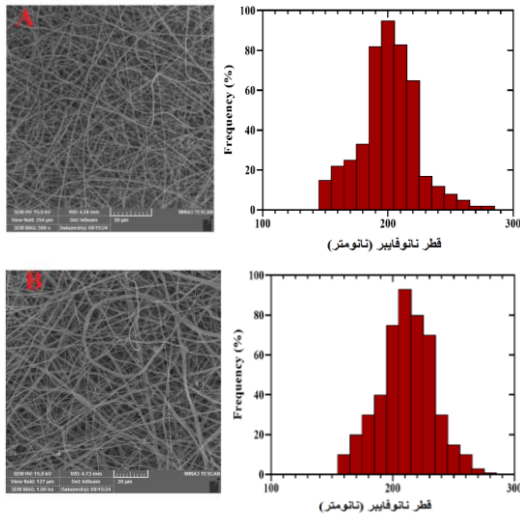
روش انجام آزمایش سنجش MTT

سلول‌های کشت داده شده بر روی نانوفایبرها بعد از گذشت زمان انکوباسیون، توسط سنجش MTT مورد ارزیابی قرار گرفتند. رده سلول‌های MDA-MB231 جهت انجام آزمایش سمیت سلولی از بانک سلولی انستیتو پاستور ایران تهیه و تکثیر داده شدند. در این سنجش چاهک‌های از پلیت کشت سلول که شامل محیط کشت و سلول بودند به عنوان کنترل سلول‌های زنده غلظت‌های مختلف Art و چاهک‌های تیمار شده با نانوفایبر PCL به عنوان کنترل سلول‌های زنده غلظت‌های مختلف نانوفایبر PCL حاوی Art در نظر گرفته شدند. بعد از اتمام زمان انکوباسیون، در مرحله خواندن تست، محیط کشت حاوی دارو و نانوفایبر از پلیت خارج شد و به هر چاهک ۲۰۰ میکرولیتر محیط تازه و ۵۰ میکرولیتر محلول MTT افزوده می‌شود و سپس پلیت در فویل آلومینیوم پیچیده شد و ۴ ساعت نگهداری گردید. سپس به هر چاهک حدود ۲۰۰ میکرولیتر DMSO اضافه شد. بعد از چندین بار پیست کردن هر چاهک به منظور حل شدن بلورهای فورمازان، جذب نوری چاهک‌های پلیت توسط دستگاه الایزا ریدر خوانده شد.

بررسی بیان ژن توسط Real Time PCR

به منظور بررسی اثر Art و نانوفایبر حاوی Art بر روی سلول‌های سرطانی پستان MDA-MB231، این

قطر آن‌ها را افزایش داده و به محدوده ۱۷۰ تا ۲۳۰ نانومتر می‌رساند.



تصویر شماره ۱: (A) داربست PCL، (B) داربست PCL-PEG حاوی Art. می‌توان مشاهده کرد که سطح نانوفایبر صاف بوده و هیچ کریستالی از آرتمیسنین روی سطح نانوفایبرها دیده نمی‌شود.

بررسی طیف مادون قرمز FT-IR

مطالعات مربوط به طیف سنجی مادون قرمز پلیمرهای سنتز شده و برای بررسی انواع ارتعاشات گروه‌های عاملی موجود در ساختار پلیمرهای شاخه‌دار حاصل، همانند گروه‌های کربونیل، هیدروکسیل، استری و متیلی و سایر گروه‌های موجود توسط دستگاه FT-IR انجام گرفت (نمودار شماره ۱). در طیف FTIR کوپلیمرهای PCL، قله جذب در $3512/61 \text{ cm}^{-1}$ و $3621/16 \text{ cm}^{-1}$ مشاهده شد که وجود گروه هیدروکسیل ترمینال در پلی کاپرولاکتون و جذب قوی در باند در $1652/26 \text{ cm}^{-1}$ به ارتعاشات کششی C-O از گروه استر کربونیل نسبت داده می‌شود. قله جذب در $1382/08$ و $1200/29 \text{ cm}^{-1}$ به لرزش کششی C-O-C و ارتعاشات کششی باند -COO- اختصاص داده شد. تمام باندهای کششی C-H در $2869/30$ و $2712/29 \text{ cm}^{-1}$ متمرکز شده‌اند. ارتعاش در ناحیه $1872/99 \text{ cm}^{-1}$ مربوط به کشش پیوندهای کربن هیدروژن و ارتعاش در ناحیه

سلول‌ها با غلظت‌های IC_{50} به مدت ۴۸ ساعت تیمار گردیدند و RNA کل از سلول‌ها توسط معرف Trizol (Sigma, St. Louis, MO, USA) برای انجام Real-Time PCR و بررسی سطح بیان ژن‌های *BCL2* و *Bax* استخراج گردید. واکنش Real Time PCR تحت شرایط، ۵۰ درجه سانتی‌گراد برای ۲ دقیقه، ۹۵ درجه سانتی‌گراد برای ۱۵ ثانیه، ۶۰ درجه سانتی‌گراد برای ۱۵ ثانیه، و ۷۲ درجه سانتی‌گراد برای ۱ دقیقه، انجام شد. پس از پایان واکنش و تعیین حد آستانه، سیکل آستانه CT برای هر نمونه تعیین شد. از نسبت سیکل آستانه ژن مورد نظر با ژن *Bax* و *BCL2* برای *miRNA* به‌عنوان ژن *house keeping*، میزان بیان نسبی به‌دست آمد.

روش آنالیز آماری

تجزیه و تحلیل نتایج و رسم نمودارها به وسیله نرم‌افزار GraphPad Prism نسخه ۸ انجام گرفت. بررسی بین گروه‌ها بر حسب نوع مقایسه با استفاده از آزمون‌های آماری *Unpaired t test* انجام شد. داده‌ها به صورت میانگین انحراف معیار نمایش داده شده‌اند. حدود اطمینان در تمامی آزمایشات ۹۵ درصد در نظر گرفته شد و *p* کم‌تر از ۰/۰۵ معنی‌دار محسوب گردید.

یافته‌ها

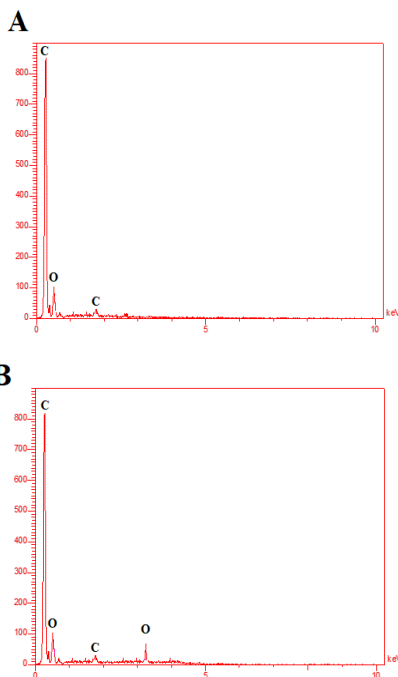
بررسی مورفولوژی سطحی داربست‌های PCL و Art-PCL مورفولوژی داربست‌های Art-PCL الکترورسی با استفاده از میکروسکوپ الکترونی روبشی (FE-SEM) مشاهده شد. تصویر شماره ۱، نشان دهنده تصاویر SEM نانوفایبرهای حاوی Art و محلول PCL می‌باشند. می‌توان مشاهده کرد که سطح نانوفایبر صاف بوده و هیچ کریستالی از داروی Art روی سطح نانوفایبرها دیده نمی‌شود که توزیع یکنواخت Art داخل داربست PCL را پیشنهاد می‌کند. قطر داربست‌های PCL بین ۱۵۰ تا ۲۱۰ نانومتر هستند. لود دارو Art بر روی نانوفایبر PCL

جدول شماره ۲: آب زاویه تماس آب (CA°) نانوالیاف های PCL و PCL حاوی داور

زاویه تماس (°)		
نانوفایبر	زمان = ۰ ثانیه	زمان = ۲۰ ثانیه
	(انحراف معیار ± میانگین)	(انحراف معیار ± میانگین)
PCL	۱۱۸/۲۳ ± ۰/۶۵	۱۲۰/۸۳ ± ۰/۸۳
Art loaded PCL	۱۰۷/۸۳ ± ۰/۴۹	۱۱۷/۱۹ ± ۰/۳۷

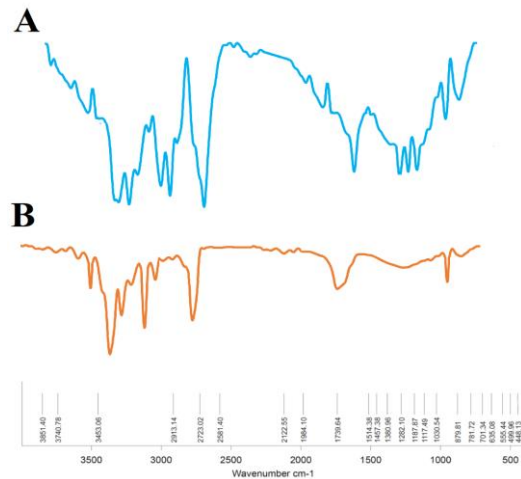
تجزیه و تحلیل طیف سنجی پراش انرژی پرتو ایکس (EDX)

تجزیه و تحلیل اولیه نانوفایبرهای الکترورسی شده بارگذاری شده با آرتیمیسینین با استفاده از میکروسکوپ الکترونی روبشی با طیف سنجی پرتو ایکس پراکنده انرژی (SEM-EDX) انجام شد. نمودار شماره ۲ طیف نمونه های مرتبط را نشان می دهد. نتایج نشان می دهد که کربن و اکسیژن به عنوان عنصر اصلی این نانوالیاف الکترورسی شده حاوی دارو بودند. از تجزیه و تحلیل EDX، شواهد مستقیمی را ارائه می دهد که اکثر این دو داروی آبدوست به جای فرار روی سطوح الیاف در داخل نانوالیاف محصور شده بودند.



نمودار شماره ۲: طیف سنجی پراش انرژی پرتو ایکس (EDX) داربست نانوفایبری PCL (A) و داربست نانوفایبری PCL حاوی آرتیمیسینین (B)

$1513/91 \text{ cm}^{-1}$ مربوط به کشش پیوند کربونیل به Art می باشد. همین طور ارتعاش در ناحیه $1275/56$ و $1165/42 \text{ cm}^{-1}$ مربوط به پیوند گروه کربن-کربن شناخته شده است.



نمودار شماره ۱: طیف FT-IR مربوط به داربست PCL (A) و داربست PCL حاوی Art (B). پیکنهای جذب در 3512 cm^{-1} و 3621 cm^{-1} مشاهده شده به ترتیب مربوط به گروه هیدروکسیل و ارتعاشات کششی C-O می باشد.

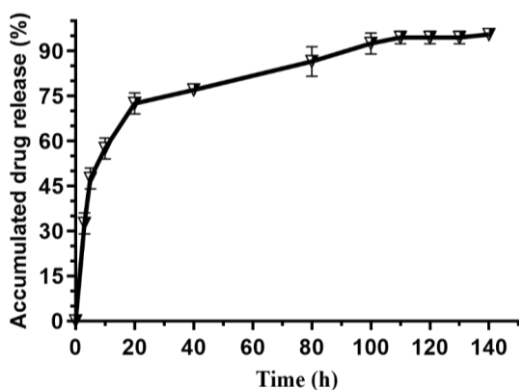
تجزیه و تحلیل زاویه تماس آب

نتایج اندازه گیری زاویه تماس آب در جدول شماره ۲، خلاصه شده است. همان طور که برای همه شناخته شده است، آب دوستی سطح نانوالیاف الکترورسی شده نقش مهمی در تعیین زیست سازگاری نانوالیافی ها به عنوان وسایل انتقال دارو ایفا می کند و هر چه زاویه تماس آب کم تر باشد، آب دوستی ماده قوی تر است. با توجه به مقادیر زاویه تماس با آب، نانوالیاف پلی کاپرولاکتون خالص آنگریز هستند، در حالی که نانوالیاف پلی کاپرولاکتون با داروی الکترورسی شده به دلیل افزودن دارو بسیار آبدوست تر از نانوالیاف پلیمری خالص مربوطه خود بودند که ممکن است به دلیل تفاوت در ویژگی های ذاتی پلیمر و هم چنین لود دارو باشد.

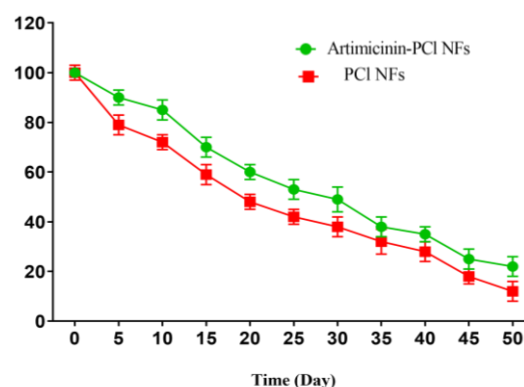
تخریب زیستی در شرایط آزمایشگاهی

یکی از ویژگی‌های مطلوب هر داربست پلیمری قابل کاشت، هماهنگ‌سازی تخریب پلیمر با رهایش دارو است. همان‌طوری که در نمودار شماره ۳ نشان می‌دهد، نانوالیاف کاپرولاکتون کاهش جرم آشکاری را در ۲ هفته اول نشان می‌دهند که ناشی از آزادسازی دارو و هیدرولیز کاپرولاکتون در نانوالیاف است. تخریب زنجیره‌های مولکولی پلی کاپرولاکتون منجر به افزایش زبری سطح نانوالیاف و در نتیجه تسریع نفوذ آب به نانوالیاف می‌شود. همان‌طور که نمودار نشان می‌دهد پس از تخریب به مدت ۵۰ روز، ۷۰-۸۰ درصد از داربست پلیمری کاپرولاکتون تجزیه شده‌اند.

ساعات ۲۰ تا ۱۴۰ از نانوفایبر پلی کاپرولاکتون رها می‌شود. در ساعت انتهایی (ساعت ۱۴۰) تقریباً ۹۶ درصد دارو از نانوفایبر رها شده بود. رهش انفجاری ابتدایی آرتیمیسینین احتمالاً به دلیل انتشار آرتیمیسینین جذب شده روی سطح نانوفایبر می‌باشد که به محیط بافر رها شده بود که این امر می‌تواند مربوط به ناحیه سطحی بزرگ این نانوفایبرها باشد. رهش اشباع‌شده آرتیمیسینین در مرحله بعدی احتمالاً می‌تواند در نتیجه رهش آرتیمیسینین لودشده از هسته نانوفایبر پلی کاپرولاکتون باشد.



نمودار شماره ۴: پروفایل رهایش Art از نانوفایبر پلی کاپرولاکتون حاوی Art در فواصل زمانی مختلف، همان‌طوری که در نمودار رهایش مشاهده می‌شود ابتدا یک رهش انفجاری رخ می‌دهد که تقریباً ۴۰/۸ درصد از آرتیمیسینین در ساعت‌های اولیه از نانوفایبر آزاد شده و به تدریج دارو در ساعت‌های بعدی آزاد می‌شود. داده‌ها به صورت میانگین \pm انحراف معیار ارائه می‌شوند (n=۳)



نمودار شماره ۳: تخریب در شرایط آزمایشگاهی غشاهای الکترورسی شده، کاهش جرم در طی ۵۰ روز تخریب را نشان می‌دهد. همان‌طور که مشاهده می‌شود سرعت تخریب نانوفایبر حاوی دارو نسبت با نانوفایبر خالی آهسته‌تر می‌باشد. نتایج به صورت میانگین \pm انحراف معیار ارائه شده‌اند.

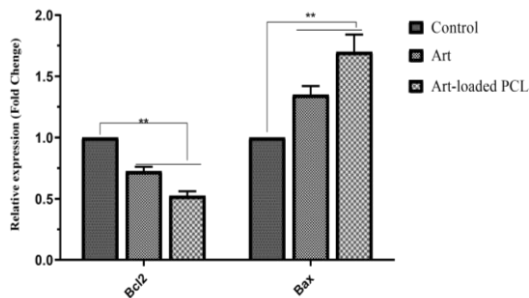
آزمایش سمیت سلولی (MTT assay)

نسبت مهار رشد سلولی Art و نانوفایبر پلی کاپرولاکتون حاوی Art علیه سلول‌های MDA-MB231 در نمودار شماره ۵، نشان داده شده است. هیچ مهارتی در رشد سلول در نمونه‌های کنترل (سلول‌های تیمار نشده) و نمونه‌های تیمار شده با نانوفایبر پلی کاپرولاکتون دیده نشد. جدول شماره ۳، مقادیر IC_{50} حاصل از Art و پلی کاپرولاکتون حاوی Art را بعد از ۲۴ و ۴۸ ساعت را نشان می‌دهد. مقایسه بین مقادیر IC_{50} نشان دادند که نانوفایبرهای

میزان رهایش آرتیمیسینین از داربست نانوفایبری PCL

نمودار شماره ۴، پروفایل رهش آرتیمیسینین را از نانوفایبر پلی کاپرولاکتون حاوی آرتیمیسینین نشان می‌دهد. هنگامی که آرتیمیسینین از نانوفایبر پلی کاپرولاکتون آزاد می‌شود، در ابتدا یک رهش انفجاری رخ می‌دهد که تقریباً ۴۰/۸ درصد از دارو در ساعت اول رها شده و به تدریج دارو در ساعت بعدی رها می‌شود. تقریباً ۵۰/۷ تا ۹۶ درصد از آرتیمیسینین بین

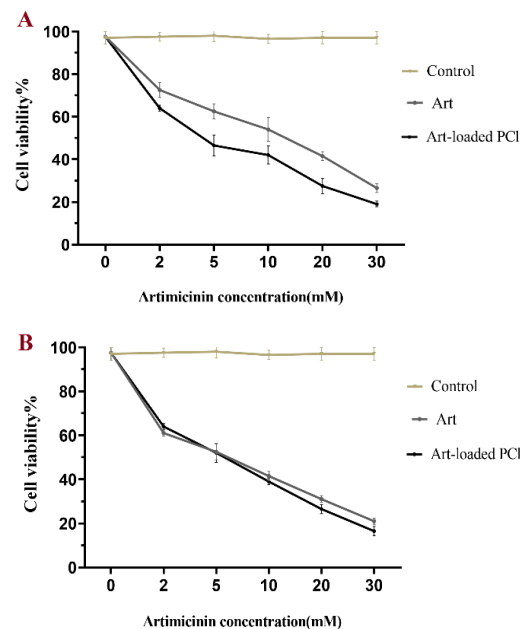
پس از سنتز cDNA بیان ژن‌های مرتبط با آپوپتوز در دو گروه هدف و کنترل سنجیده شد و به عنوان کنترل داخلی برای هر دو گروه بیان ژن GAPDH اندازه‌گیری شد و داده‌های به دست آمده از دستگاه با فرمت اکسل خارج شد. این که بیان ژن‌ها در دو گروه مورد مطالعه چند برابر تغییر کرده است، محاسبه گردید. سپس با یک تست آماری معنی‌دار بودن اختلاف موجود مورد بررسی قرار گرفت. همان‌طور که در نمودار شماره ۶ نشان داده شده است، آنالیز نتایج نشان می‌دهد که بیان Bax mRNA به‌طور قابل توجهی افزایش یافته و بیان ژن ضد آپوپتوز *Bcl-2* به میزان قابل توجهی نسبت به Art تنها کاهش یافته است ($P < 0.001$). همان‌طور که نتایج مطالعه حاضر نشان داد، بیان ژن‌های *Bax* و *Bcl-2* می‌تواند به‌طور معکوس توسط دارو تنظیم شود و سطح بیان ژن‌های بیان شده را که ممکن است مسئول تنظیم فرایند آپوپتوز باشد تنظیم کند. برای انجام این آزمایش سلول‌ها در پلیت ۶ خانه با غلظت‌های IC_{50} تیمار شده‌اند و نتایج و نمودارهای آن به قرار زیر می‌باشد.



نمودار شماره ۶: سطح بیان ژن‌های *bax* و *Bcl-2*، در سلول‌های MDA-MB231 تیمار شده با Art، در بیست PCL حاوی Art بعد از ۴۸ ساعت. نتایج نشان دادند که آرتمیستین لود شده در نانوفایبر کاپرولاکتون نسبت به حالت کنترل و آرتمیستین آزاد اثر مهاری بیش‌تری بر روی بیان *Bcl-2* دارند. علاوه بر این مشخص شد که آرتمیستین لود شده در نانوفایبر کاپرولاکتون افزایش بیان معنی‌دارتری را در مقایسه با آرتمیستین آزاد در بیان ژن *bax* در سلول‌های MDA-MB231 بر جای گذاشته‌اند ($P < 0.001$). داده‌ها به صورت میانگین \pm انحراف معیار ارائه می‌شوند ($n=3$).

بحث

پلی کاپرولاکتون حاوی Art، اثر مهاری موثرتری روی رشد سلول‌های MDA-MB231 در مقایسه با Art آزاد به تنهایی دارند. این اثر به احتمال قوی مربوط به رهش اشباع شده Art از نانوفایبر می‌باشد. آنالیز نتایج سنجش MTT نشان دادند که Art به تنهایی و لود شده بر روی نانوفایبر پلی کاپرولاکتون اثر سمیت وابسته به زمان و وابسته به دزی علیه سلول‌های MDA-MB231 دارند. بنابراین این نتایج نشان می‌دهند که لود Art بر روی نانوفایبرهای پلی کاپرولاکتون، اثر مهاری این دارو را افزایش می‌دهد.



نمودار شماره ۵: تست سمیت حاصل از Art، نانوفایبر پلی کاپرولاکتون و نانوفایبر پلی کاپرولاکتون حاوی Art روی سلول‌های سرطان پستان MDA-MB231 بعد از ۲۴ (A)، ۴۸ (B) ساعت از مواجهه با دارو. زنده مانی در نانوالیاف‌های حاوی آرتمیستین در مقایسه به داروی آزاد و کنترل به‌طور قابل توجهی کاهش یافت ($P \leq 0.05$). داده‌ها به صورت میانگین \pm انحراف معیار ارائه می‌شوند ($n=3$).

جدول شماره ۳: مقادیر IC_{50} مربوط به Art به صورت خالص و لود شده بر روی نانوفایبر پلی کاپرولاکتون در زمان‌های مختلف آنکوباسیون

زمان آنکوباسیون	آرتمیستین	آرتمیستین لود شده در نانوفایبر
۲۴	۱۰/۲	۱۲/۱۲
۴۸	۸/۹۴	۵/۳۲

نتایج حاصل از Real time PCR

سرطان پستان شایع‌ترین بدخیمی در بین زنان جهان است و شیوع آن در کشورهای در حال توسعه بیش‌تر بوده و نیز مسئول ۲۰ درصد مرگ‌های ناشی از سرطان در زنان می‌باشد (۱۴). روش‌های درمانی از قبیل جراحی، شیمی‌درمانی، رادیوتراپی، هورمون‌درمانی و ژن‌درمانی برای بیماران مبتلا به سرطان پستان متاستاتیک چندان موثر نبوده است و عوارض جانبی شدیدی دارند. بنابراین نیاز قابل توجهی برای طراحی و سنتز عواملی که قادر به کشتن سلول‌های سرطانی باقی مانده به‌منظور جلوگیری از عود سرطان پستان باشند، وجود دارد (۱۵).

در دهه‌های اخیر ترکیبات طبیعی (فیتوکمیکال‌ها) به دلیل داشتن ویژگی‌های دارویی مورد توجه محققان قرار گرفته است (۱۶). آرتیمیسینین ترکیبی است که از گیاه *artemesia annua* به‌دست آمده است این گیاه از زمان‌های قدیم جزو درمان‌های اصلی مالاریا محسوب می‌شود. آرتیمیسینین از طرق مختلفی از جمله القا آپوپتوز و مهار تکثیر سلول‌های سرطانی اثر می‌گذارند (۱۷).

پلی‌کاپرولاکتون یک پلیمر هیدروفوب زیست‌تخریب‌پذیر و زیست‌سازگار است که به‌طور گسترده‌ای در سیستم‌های انتقال دارو به‌کار می‌رود. کاربردهای این پلیمر ممکن است به دلیل هیدروفوبیسته و تجزیه کم آن، محدود گردد (۱۸). در این مطالعه، داربست‌های PCL حاوی Art توسط روش الکترورسی سنتز و خواص مورفولوژیکی و فیزیکوشیمی آن‌ها تعیین شد. نتایج FT-IR و SEM لود موفق Art روی نانوفیبرهای PCL را تایید کردند.

در مطالعه حاضر، نتایج رهش دارو، رهش ابتدایی انفجاری دارو را نشان دادند که برای انتقال سریع این دارو در دوز مناسب برای کشتن سلول‌های سرطانی ضروری می‌باشد. رهش اشباع شده تدریجی دارو که به دنبال رهش انفجاری آن رخ می‌دهد نیز برای مهار تکثیر و مهاجرت سلول‌های سرطانی که از رهش انفجاری جان سالم به در بردند، لازم و ضروری می‌باشد (۱۹). نتایج مطالعه حاضر پیشنهاد کردند که این نانوفیبرها

به‌طور بالقوه می‌توانند برای انتقال دارو به‌منظور درمان سرطان، موثر باشند.

زاویه تماس آب قابلیت خیس شونده‌گی سطح را نشان می‌دهد که با اندازه‌گیری زاویه تماس آب پس از برخورد قطره با سطح نانوفیبر حاصل می‌شود؛ که این شاخص به‌گونه‌ای برجسته میزان آب دوستی/آب‌گریزی سطح نانوفیبرها را بیان می‌کند (۲۰). به‌طور کلی هرچه میزان آبدوستی سطح کم‌تر شود، قطره سطح کم‌تری را اشغال نموده و زاویه تماس افزایش می‌یابد. تا به امروز هیچ مطالعه‌ای در مورد استفاده Art لود شده روی نانوفیبر PCL روی سلول‌های سرطان پستان گزارش نشده است. از این رو، در این مطالعه اثرات ضد سرطانی آرتیمیسینین در رده سلولی سرطان پستان MDA-MB231 مورد مطالعه قرار گرفت. نتایج نشان دادند که نانوفیبرهای حاوی دارو اثرات مهاری بیش‌تری نسبت به داروی خالص بر روی سلول‌های سرطان پستان دارند. نتایج هم‌چنین ثابت کردند که با افزایش دوره انکوباسیون و غلظت داروی لود شده بر روی نانوفیبرها، اثرات سمی نانوفیبرها نیز افزایش می‌یابد که این افزایش اثر، در نتیجه رهش اشباع شده دارو از نانوفیبرها می‌باشد. در یک مطالعه‌ای اثرات کورکومین و کرایزین لوده شده در نانوفیبرها، بر روی رده سلولی T47D سرطان سینه مورد ارزیابی قرار گرفت و نشان داده شد که نانوفیبرهای حاوی کورکومین و کرایزین بهترین سمیت سلولی هم‌افزایی را علیه سلول‌ها دارند (۲۱). مطابق با مطالعه حاضر نتایج سمیت سلولی نشان داد که داروهای لود شده نسبت به داروهای آزاد اثرات سمیتی بیش‌تری دارند.

در مطالعه Wong و همکاران مکانیسم‌های عملکردی آرتیمیسینین در سرطان، مسیرها و مولکول‌های هدف‌آن را در کشتن سلول توموری را بررسی گردید (۲۲). با مطالعاتی که بر روی رده سلولی MCF-7، T47D و MDA-MB-231 سرطان پستان انجام دادند نشان می‌دهد که آرتیمیسینین با کاهش معنی‌داری در بیان ژن

آنکوژن‌ها از طریق مسیرهای سیگنالینگ تحریک کننده رشد، اثر مهاری در سرطان پستان دارد (۲۳).

براساس این یافته‌ها، اثر مهاری بالقوه اعمال شده توسط Art روی بیان ژن‌های مرتبط با آپوپتوز در سلول‌های MDA-MB231 مطالعه گردید. در این مطالعه جهت بررسی ژن‌های درگیر در مرگ سلولی، بیان ژن‌های *Bax* و *Bcl-2* مورد بررسی قرار گرفت و نشان داده شد که آرتمیسینین نانوفرموله شده نسبت به آرتمیسینین آزاد اثر مهاری بیش‌تری بر روی بیان *Bcl-2* دارند. علاوه بر این نتایج نشان دادند که آرتمیسینین نانوفرموله شده افزایش بیان معنی‌دارتری را در مقایسه با آرتمیسینین در بیان ژن *bax* در سلول‌های رده سرطانی تخمدان MDA-MB231 برجای گذاشته‌اند. پروتئین *Bax* یک پرو آپوپتوتیک از خانواده *Bcl-2* می‌باشد که در روند آپوپتوز میتوکندریایی نقش داشته و پروتئین *Bcl-2* یک آنتی آپوپتوتیک مهم بوده که می‌تواند اثر عملکرد *Bax* را خنثی کرده و مانع آپوپتوز شود. پروتئین‌هایی که باعث توقف و یا تحریک روند آپوپتوز می‌شوند، سرنوشت مرگ سلولی را تعیین می‌کنند (۲۴). افزایش بیان ژن *Bax* باعث افزایش حساسیت سلول به عوامل آپوپتوتیک و در نتیجه کاهش اندازه تومور می‌شود از طرف دیگر کاهش بیان *Bax* از آپوپتوز جلوگیری می‌کند (۲۴). بیان *Bax* و *Bcl-2* در بیماران مبتلا به سرطان‌های دیگر نیز مورد مطالعه قرار گرفته است و نشان داده شد که بین میزان بیان *Bcl-2* و *Bax* و استیج بیماری ارتباط وجود دارد (۲۵، ۲۶). در بیماران مبتلا به سرطان پستان، افزایش بیان *Bcl-2* باعث افزایش مقاومت سلول‌های سرطان پستان به داروهای ۵-فلوئوراسیل، دی آمین دی کلروپلاتینیوم (Diaminedichloroplatinum) و اپیرویسین (Epirubicin) می‌شود. بنابراین *Bcl-2* ممکن است به‌عنوان یکی از فاکتورهای تشخیصی مهم برای تعیین اثر این داروها برای درمان سرطان پستان باشد (۲۷). از طرف دیگر طی مطالعاتی که انجام شده نشان داده شده است که *Bcl-2*

اثر آنتی‌پرولیفراتیو داشته و افزایش آن موجب کنترل رشد تومور می‌شود. هنگام کاهش نسبت *Bax/Bcl-2* در سرطان پستان می‌توان پاسخ مناسب بیمار به داروهای شیمی‌درمانی را پیش‌بینی کرد.

طی مطالعه‌ای بر روی بیماران مبتلا به سرطان پروستات نشان داده اند که بیماران با نسبت *Bax/Bcl-2* بالا احتمال عود و مقاومت به درمان بیش‌تری دارند (۲۸، ۲۹). افزایش بیان ژن *Bcl-2* در بسیاری از سلول‌های سرطانی روی می‌دهد که مانع مرگ سلولی تحریک شده توسط داروهای ضد سرطان و پرتو درمانی می‌شود (۳۰، ۳۱). در یافته‌های این مطالعه میزان بیان ژن *Bcl-2* در سلول MDA-MB231 کاهش یافت.

رضازاده و همکاران با مطالعه بر روی آرتمیسینین و سیس‌پلاتین بر روی رده سلول سرطان تخمدان انسان، نشان دادند که این ترکیب سبب القای آپوپتوز و افزایش بیان ژن‌های *Bax* و *P53* می‌شود (۳۲).

مطالعه حاضر یک مطالعه ابتدایی برای بررسی اثرات ضد سرطانی داربست نانوفایبری حاوی آرتمیسینین است که در صورت نتیجه مطلوب و با مطالعات بیش‌تر می‌تواند در جلوگیری از عود مجدد سرطان پستان بعد از جراحی و برداشتن تومور مورد استفاده قرار گیرد.

در این مطالعه برای اولین بار Art به‌طور موفقیت‌آمیزی در داربست‌های PCL از طریق روش الکترواسپینینگ به منظور بهبود نیمه عمر و کارایی لود سنتز گردید. مطالعات مرفولوژی با استفاده از میکروسکوپ الکترونی، توزیع یکنواخت دارو را روی سطح داربست‌ها نشان دادند. نتایج مطالعه حاضر نشان دادند که داربست‌های حاوی دارو اثر موثرتری روی مهار رشد، کاهش بیان *Bax* mRNA نسبت به داروی خالص دارند. بنابراین داربست‌های حاوی دارو به‌عنوان یک سیستم انتقال داروی قابل لانه‌گزینی مطرح می‌شوند که پتانسیل بالقوه‌ای برای توزیع موضعی دارو داشته و مانع عود سرطان بعد از عمل جراحی می‌شوند.

سپاسگزاری

پزشکی و آزمایشگاه جامع تحقیقات دانشگاه علوم پزشکی سمنان کمال تشکر و قدردانی را داریم.

این مطالعه توسط دانشگاه علوم پزشکی سمنان حمایت شده است. از گروه زیست فناوری فناری

References

1. Dadashpour M, Ganjibakhsh M, Mousazadeh H, Nejati K. Increased pro-apoptotic and anti-proliferative activities of simvastatin encapsulated PCL-PEG nanoparticles on human breast cancer adenocarcinoma cells. *J Clust Sci* 2023; 34(1): 211-222.
2. Firouzi Amandi A, Bahmanyar Z, Dadashpour M, Lak M, Natami M, Döğüş Y, et al. Fabrication of magnetic niosomal platform for delivery of resveratrol: potential anticancer activity against human pancreatic cancer Capan-1 cell. *Cancer Cell Int* 2024; 24(1): 46.
3. Amirsaadat S, Jafari-Gharabaghloou D, Dadashpour M, Zarghami N. Potential anti-proliferative effect of nano-formulated curcumin through modulating micro RNA-132, Cyclin D1, and hTERT genes expression in breast cancer cell lines. *J Clust Sci* 2023; 2537-2546.
4. Firouzi Amandi A, Jokar E, Eslami M, Dadashpour M, Rezaie M, Yazdani Y, et al. Enhanced anti-cancer effect of artemisinin- and curcumin-loaded niosomal nanoparticles against human colon cancer cells. *Med Oncol* 2023; 40(6): 170. PMID: 37156929
5. Jafari-Gharabaghloou D, Dadashpour M, Khanghah OJ, Salmani-Javan E, Zarghami N. Potentiation of Folate-Functionalized PLGA-PEG nanoparticles loaded with metformin for the treatment of breast Cancer: possible clinical application. *Mol Biol Rep* 2023; 50(4): 3023-3033. PMID: 36662452.
6. Zhong Y, Li H, Jiang T, Mu X, Seki M, Cheang UK, et al. Double-Layered Metal-Organic-Frameworks-Based Microswimmers for Adaptive Dual-Drug Anti-Cancer Therapy Using Artemisinin-Based Compounds. *Adv Intell Sys* 2024; 2400244: 1-15.
7. Hassani N, Jafari-Gharabaghloou D, Dadashpour M, Zarghami N. The effect of dual bioactive compounds artemisinin and metformin co-loaded in PLGA-PEG nano-particles on breast cancer cell lines: potential apoptotic and anti-proliferative action. *Appl Biochem Biotechnol* 2022; 194(10): 4930-4945. PMID: 35674922.
8. Dadashpour M, Rasooli I, Sefidkon F, Rezaei M, Darvish Alipour Astaneh S. Lipid peroxidation inhibition, superoxide anion and nitric oxide radical scavenging properties of *Thymus daenensis* and *Anethum graveolens* essential oils. *J Med Plant* 2011; 10(37): 109-120.
9. Alagheband Y, Jafari-gharabaghloou D, Imani M, Mousazadeh H, Dadashpour M, Firouzi-Amandi A, et al. Design and fabrication of a dual-drug loaded nano-platform for synergistic anticancer and cytotoxicity effects on the expression of leptin in lung cancer treatment. *J Drug Deliv Technol* 2022; 73: 103389.
10. Ngiam M, Liao S, Patil AJ, Cheng Z, Chan CK, Ramakrishna S. The fabrication of nano-hydroxyapatite on PLGA and PLGA/collagen nanofibrous composite scaffolds and their effects in osteoblastic behavior for bone tissue engineering. *Bone* 2009; 45(1): 4-16. PMID: 19358900.

11. Firouzi-Amandi A, Tarahomi M, Rahmani-Youshanlouei H, Heris RM, Jafari-Gharabaghloou D, Zarghami N, et al. Development, characterization, and in vitro evaluation of cytotoxic activity of Rutin loaded PCL-PEG nanoparticles against Skov3 ovarian cancer cell. *Asian Pac J Cancer Prev* 2022; 23(6): 1951-1957. PMID: 35763636.
12. Razavi MS, Abdollahi A, Malek-Khatibi A, Ejarestaghi NM, Atashi A, Yousefi N, et al. Recent advances in PLGA-based nanofibers as anticancer drug delivery systems. *J Drug Deliv Technol* 2023; 85: 104587.
13. Adlravan E, Nejati K, Karimi MA, Mousazadeh H, Abbasi A, Dadashpour M. Potential activity of free and PLGA/PEG nanoencapsulated nasturtium officinale extract in inducing cytotoxicity and apoptosis in human lung carcinoma A549 cells. *J Drug Deliv Technol* 2020; 61: 102256.
14. Al-Thani AN, Jan AG, Abbas M, Geetha M, Sadasivuni KK. Nanoparticles in cancer theragnostic and drug delivery: A comprehensive review. *Life Sci* 2024; 352: 122899. PMID: 38992574.
15. Sharma A, Jasrotia S, Kumar A. Effects of chemotherapy on the immune system: Implications for cancer treatment and patient outcomes. *Naunyn Schmiedebergs Arch Pharmacol* 2024; 397(5): 2551-2566. PMID: 37906273.
16. de Luna FCF, Ferreira WAS, Casseb SMM, de Oliveira EHC. Anticancer potential of flavonoids: an overview with an emphasis on tangeretin. *Pharmaceuticals* 2023; 16(9): 1229. PMID: 37765037.
17. El Rabey HA, Almutairi FM. The antioxidant, antidiabetic, antimicrobial and anticancer constituents of Artemisia species. *Nat Prod Res* 2024; 1-11. PMID: 39056203.
18. Dadashpour M, Pilehvar-Soltanahmadi Y, Mohammadi SA, Zarghami N, Pourhassan-Moghaddam M, Alizadeh E, et al. Watercress-based electrospun nanofibrous scaffolds enhance proliferation and stemness preservation of human adipose-derived stem cells. *Artif Cells Nanomed Biotechnol* 2018; 46(4): 819-830. PMID: 28695751.
19. Huo P, Han X, Zhang W, Zhang J, Kumar P, Liu B. Electrospun nanofibers of polycaprolactone/collagen as a sustained-release drug delivery system for artemisinin. *Pharmaceutics* 2021; 13(8): 1228. PMID: 34452189.
20. Altinbasak I, Kocak S, Colby AH, Alp Y, Sanyal R, Grinstaff MW, et al. pH-Responsive nanofiber buttresses as local drug delivery devices. *Biomater Sci* 2023; 11(3): 813-821. PMID: 36408890.
21. Rasouli S, Montazeri M, Mashayekhi S, Sadeghi-Soureh S, Dadashpour M, Mousazadeh H, et al. Synergistic anticancer effects of electrospun nanofiber-mediated codelivery of Curcumin and Chrysin: Possible application in prevention of breast cancer local recurrence. *J Drug Deliv Technol* 2020; 55: 101402.
22. Wong YK, Xu C, Kalesh KA, He Y, Lin Q, Wong WF, et al. Artemisinin as an anticancer drug: recent advances in target profiling and mechanisms of action. *Med Res Rev* 2017; 37(6): 1492-1517. PMID: 28643446.
23. Kumari K, Keshari S, Sengupta D, Sabat SC, Mishra SK. Transcriptome analysis of genes associated with breast cancer cell motility in response to Artemisinin treatment. *BMC Cancer* 2017; 17(1): 858. PMID: 29246124.
24. Bargou RC, Wagener C, Bommert K, Mapara MY, Daniel PT, Arnold W, et al. Overexpression of the death-promoting gene bax-alpha which is downregulated in breast

- cancer restores sensitivity to different apoptotic stimuli and reduces tumor growth in SCID mice. *J Clin Invest* 1996; 97(11): 2651-2659. PMID: 8647960.
25. Pepper C, Hoy T, Bentley P. Elevated Bcl-2/Bax are a consistent feature of apoptosis resistance in B-cell chronic lymphocytic leukaemia and are correlated with in vivo chemoresistance. *Leuk lymphoma* 1998; 28(3-4): 355-361.
 26. Aviram A, Rabizadeh E, Zimra Y, Yeshoron M, Marmelstein M, Shaklai M, et al. Expression of bcl-2 and bax in cells isolated from B-chronic lymphocytic leukemia patients at different stages of the disease. *Eur J Haematol* 2000; 64(2): 80-84. PMID: 9517506.
 27. Yu B, Sun X, Shen H-y, Gao F, Fan Y-m, Sun Z-j. Expression of the apoptosis-related genes BCL-2 and BAD in human breast carcinoma and their associated relationship with chemosensitivity. *J Exp Clin Cancer Res* 2010; 29(1): 107. PMID: 20691103.
 28. Mackey TJ, Borkowski A, Amin P, Jacobs SC, Kyprianou N. bcl-2/bax ratio as a predictive marker for therapeutic response to radiotherapy in patients with prostate cancer. *Urology* 1998; 52(6): 1085-1090. PMID: 9836559.
 29. Eimani BG, Sanati MH, Houshmand M, Ataei M, Akbarian F, Shakhssalim N. Expression and prognostic significance of bcl-2 and bax in the progression and clinical outcome of transitional bladder cell carcinoma. *Cell J* 2014; 15(4): 356-363. PMID: 24381861.
 30. Shajahan AN, Dobbin ZC, Hickman FE, Dakshanamurthy S, Clarke R. Tyrosine-phosphorylated caveolin-1 (Tyr-14) increases sensitivity to paclitaxel by inhibiting BCL2 and BCLxL proteins via c-Jun N-terminal kinase (JNK). *J Biol Chem* 2012; 287(21): 17682-17692. PMID: 22433870.
 31. Crawford A, Nahta R. Targeting Bcl-2 in herceptin-resistant breast cancer cell lines. *Curr Pharmacogenomics Person Med* 2011; 9(3): 184-190. PMID: 22162984.
 32. Rezazadeh N, Baharara J, Shahrokhbadi KN. Anticancer effect of Artemisia extract and cisplatin on induction of apoptosis and inhibition of proliferation in A2780 human ovarian cancer. *NBR* 2023; 9(4): 246-256.